

РАСЧЕТ ЦИЛИНДРИЧЕСКОЙ ЭЛЕКТРИЧЕСКОЙ ДУГИ С УЧЕТОМ  
ПЕРЕНОСА ЭНЕРГИИ ИЗЛУЧЕНИЕМ. ДУГА В ВОДОРОДЕ  
ПРИ ДАВЛЕНИИ 100 атм

А. Т. Онуфриев, В. Г. Севастьяненко

(Москва, Новосибирск)

Изложен приближенный метод учета переноса энергии излучением при использовании реальных свойств газа, в частности коэффициента поглощения, зависящего от частоты, в условиях локального термического равновесия. С ростом давления необходимо учитывать реабсорбцию практически во всем спектре частот.

Приведен пример расчета цилиндрической электрической дуги, стабилизированной стенками канала, в водороде при давлении 100 атм для радиуса канала, равного 0.3, 1 и 3 см, при разных значениях силы тока до величины порядка  $10^4$  а. Показано сильное влияние излучения на вольт-амперную характеристику дуги, на значение температуры газа и характер ее распределения по радиусу дуги.

В тепловом балансе электрических дуг с большой величиной силы тока значительную, а иногда и преобладающую роль играет процесс переноса энергии излучением [1-3]. Теоретический расчет цилиндрической дуги в атмосфере аргона и водорода с учетом переноса энергии излучением проведен в работах [5,7]. Расчеты выполнены для атмосферного давления, при котором газ в дуге в основном прозрачен для излучения. Для реабсорбированной части излучения были сделаны приближенные оценки.

Роль излучения возрастает с ростом силы тока, радиуса дуги и величины давления. При этом реабсорбция захватывает все большую часть спектра. Поэтому необходимо выполнять расчет дуги в условиях, при которых газ в дуге непрозрачен для излучения.

В работах [10-13] был развит приближенный метод учета переноса энергии излучением при сильной реабсорбции применительно к задачам теплообмена в условиях локального термического равновесия с учетом изменения значения коэффициента поглощения с частотой. Условия локального термического равновесия для дуги в аргоне и водороде будут выполняться при давлении выше атмосферного и при силе тока, большей  $\sim 10a$  [14-16]. На основе результатов работ [10-12] была рассчитана электрическая дуга в аргоне при атмосферном давлении, когда реабсорбция захватывает лишь переходы в основное состояние. Роль излучения в процессе теплообмена при этом меньше роли кондуктивного переноса энергии. Расчеты подтвердили результаты работ [5,7].

С ростом давления возрастает роль переноса энергии излучением в энергетическом балансе дуги, а в излучении, в свою очередь, возрастает роль непрерывного спектра. Были проведены расчеты стабилизированной стенками канала цилиндрической дуги в атмосфере водорода при давлении, равном 100 атм, результаты которых приводятся в статье. В этом случае практически вся вкладываемая энергия теряется за счет излучения. На приводимом примере показан приближенный метод учета переноса энергии излучением.

Обозначения

$\rho, T$ — плотность и температура газа,	$u_v^0$ — равновесное значение плотности
$u$ — скорость,	энергии излучения,
$c_p$ — теплоемкость газа при постоянном давлении,	$u_v$ — значение плотности энергии излучения,
$\kappa$ — коэффициент теплопроводности,	$v$ — частота излучения,
$\sigma$ — коэффициент электропроводности,	$\varphi$ — дивергенция плотности потока энергии, переносимой излучением,
$x, r$ — цилиндрические координаты,	$k_v$ — коэффициент поглощения,
$R_0$ — радиус канала,	$c$ — скорость света,
$I$ — сила тока,	$\varepsilon_i$ — степень черноты $i$ -й области спектра.
$E$ — напряженность электрического поля,	

*Символы усреднения:*  $\langle k' \rangle_i$  — среднее значение коэффициента поглощения в  $i$ -й области спектра, усредненное по правилу Планка;  $\langle k'' \rangle_i$  — то же, усредненное по правилу Росселанда,

$$\langle k' \rangle = \int k_v u_v^\circ dv / \int u_v^\circ dv, \quad \langle k'' \rangle = \int \frac{du_v^\circ}{dT} dv / \int \frac{1}{k_v} \frac{du_v^\circ}{dT} dv$$

$$\varepsilon_i = u_i^\circ / \int_0^\infty u_v^\circ dv, \quad u_i^\circ = \int_{\Delta v_i} u_v^\circ dv, \quad u_i = \int_{\Delta v_i} u_v dv$$

$$\langle k \rangle = (\langle k' \rangle \langle k'' \rangle)^{1/2}$$

1. Расчет проведен для цилиндрической дуги, свойства которой не изменяются по длине. Величина напряженности электрического поля  $E$  постоянна вдоль оси дуги и по сечению. Предположено существование локального термического равновесия.

Решалось уравнение теплопроводности

$$\frac{\partial T}{\partial x'} - \frac{1}{r} \frac{\partial}{\partial r} \left( \kappa r \frac{\partial T}{\partial r} \right) + \sigma E^2 - \varphi \quad (1.1)$$

при следующих условиях:

$$r = 0, \frac{\partial T}{\partial r} = 0, r = R_0, T = T_1 = 300^\circ K,$$

$$x' = 0, T(0, r) = F(r) \quad (1.2)$$

при заданных радиусе канала  $R_0$  и силе тока  $I$ . Здесь  $F(r)$  — распределение температуры, заданное в начальном сечении,  $x'$  — значение координаты  $x$ , деленное на величину  $r \omega c_p = \text{const}$ , что можно сделать, так как в данном случае гидродинамическая картина не влияет на результат. Величина напряженности электрического поля

$$E = I \left( 2\pi \int_0^{R_0} \sigma r dr \right)^{-1}$$

Уравнение (1.1) решалось методом конечных разностей. Так как профиль температуры около стенки канала меняется очень резко, то вместо радиуса вводилась переменная, растягивающая область, прилегающую к стенке.

Счет проводился до наступления стационарного режима, о чем судили по изменению величины  $E$ , хотя профиль температуры вблизи стенки еще не устанавливался окончательно.

Определение состава газа проводилось по формулам химического равновесия с учетом снижения потенциала ионизации. Коэффициенты электропроводности  $\sigma$  и теплопроводности  $\kappa$  (с учетом переноса энергии ионизации) рассчитывались по зависимостям элементарной кинетической теории. Зависимости  $\sigma$  ( $\text{сек}^{-1}$ ), кривая 1, и  $\kappa$  ( $\text{эрз}\cdot\text{см}^{-1}\cdot\text{сек}^{-1}\cdot\text{град}^{-1}$ ), кривая 2, приведены на фиг. 1.

2. Величина дивергенции плотности потока энергии, переносимой излучением  $\varphi$ , подсчитывалась с учетом реальной зависимости коэффициента поглощения от частоты.

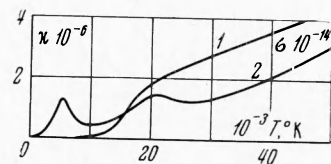
Весь спектральный интервал делится на ряд областей, в каждой из которых производится осреднение коэффициента поглощения по способу, указанному в работах [10–13]. Число областей, на которые нужно разбивать спектр, оказывается практически приемлемым. В случае небольшой плотности газа (атмосферное давление) реабсорбируются, как правило, пере-

ходы в основное состояние и ряд переходов в первое возбужденное состояние. Остальные части спектра прозрачны. Линии, в которых коэффициент поглощения одинаково зависит от температуры, можно объединить в группы [10–11]. В случае большой плотности газа (высокое давление) практически весь спектр реабсорбируется, однако большое снижение потенциала ионизации переводит почти весь дискретный спектр в непрерывный, а оставшиеся линии не играют большой роли из-за мощного непрерывного спектра.

Уравнение переноса излучения заменяется приближенной системой уравнений метода сферических гармоник. В настоящей работе использовано  $P_1$  приближение (диффузионное приближение), точность которого проверена в работах [10–13].

В диффузионном приближении величина  $\phi$ , которая входит в уравнение, находилась по формуле

$$\phi = \sum_i \phi_i = c \sum_i \langle k \rangle_i (u_i^\circ - u_i) \quad (2.1)$$



Фиг. 1

Суммирование производится по всем областям  $\Delta v_i$ , на которые разбит спектр. Для каждой области величина  $u_i$  определяется уравнением [17]

$$-\frac{1}{3 \langle k \rangle_i} \frac{1}{r} \frac{d}{dr} \left[ \frac{r}{\langle k \rangle_i} \frac{du_i}{dr} \right] = u_i^\circ - u_i \quad (2.2)$$

с граничными условиями

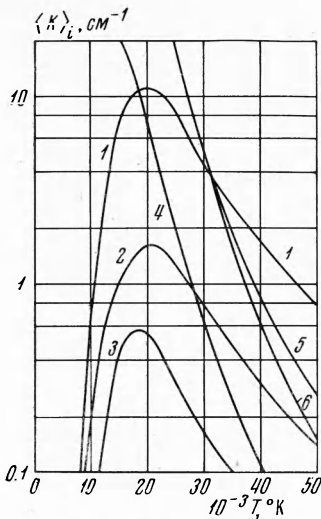
$$\begin{aligned} r = 0, \quad du_i/dr &= 0 \\ r = R_0, \quad -\frac{1}{3 \langle k \rangle_i} \frac{du_i}{dr} &= \frac{u_i}{2} \end{aligned} \quad (2.3)$$

Это уравнение решалось методом конечных разностей с использованием прогонки для каждой области частот.

При давлении 100 atm и температуре выше 10 000° K излучение в водороде испытывает существенную реабсорбцию практически во всем спектре. Чтобы рассчитать перенос энергии излучением при температуре в несколько десятков тысяч градусов, необходимо учесть всю спектральную область, важную в энергетическом отношении. Учитывался интервал частот от  $2 \cdot 10^{14}$  сек<sup>-1</sup> до  $5.4 \cdot 10^{15}$  сек<sup>-1</sup>. Большое снижение потенциала ионизации, доходящее до 2.5 эв, приводит к тому, что практически реализуются 1–2 возбужденных уровня.

Изменение сечения фотоионизации из основного состояния и с возбужденных уровней учтено по рекомендациям работы [18]. При этом для упрощения расчета сечения соответствующих процессов были продолжены в длинноволновую область спектра на максимальную величину, соответствующую температуре 20 000° K, и при других температурах сечение считалось таким же. Этим приближенно учитывается роль линий вблизи пороговых частот. Таким образом, при сделанных предположениях из дискретных переходов остается лишь первая линия серии Лаймана  $L_\alpha$ . Контуры этой линии рассчитан в ряде работ Колба, Грима и Шена. Обзор работ этих авторов и контуры линий водорода приведены в работе [19].

Исходя из допустимой погрешности в несколько процентов, весь учитываемый участок спектра был разбит на области 1, ..., 6 (фиг. 7). Области 1, 2, 3 охватывают участок спектра от  $2 \cdot 10^{14}$  до  $2.2 \cdot 10^{15}$  сек<sup>-1</sup>, связанный с рекомбинацией на возбужденные уровни, свободно-свободными переходами в полях протонов и отрицательных ионов и с фотоотрывом от отрицательных ионов. Коэффициент поглощения всех этих процессов мал при низких температурах, так что излучение, которое существенно реабсорбируется в ядре дуги, практически не задерживается в периферийных слоях холодного газа.



Фиг. 2

Полученные значения  $\langle k \rangle_i$  показаны на фиг. 2. Цифры у кривых обозначают номер области спектра. Величины  $\langle k \rangle_i$  для областей 4—6 монотонно падают с повышением температуры. Излучение, выходящее из ядра дуги в этих интервалах спектра, реабсорбируется в холодных слоях газа. На фиг. 3 показано поведение в зависимости от температуры степени черноты  $\epsilon_i$  для соответствующих областей спектра.

**3. Результаты расчетов.** Расчеты проведены для радиуса канала, равного 0.3, 1 и 3 см, для различных величин силы тока. На фиг. 4 приводятся обобщенные вольт-

амперные характеристики  $ER_0 = f(I/R_0)$ . Пунктирная кривая — расчет без учета переноса энергии излучением; кривая 1 — расчет для радиуса канала  $R_0 = 0.3$  см; кривая 2 —  $R_0 = 1$  см; кривая 3 —  $R_0 = 3$  см. На характеристиках кружками нанесены значения температуры на оси дуги: кривая 1 (слева направо) — 12 000, 14 000, 16 000, 20 000° К; кривая 2 — 11 000, 14 000, 18 000° К; кривая 3 — 10 000, 14 000, 18 000° К.

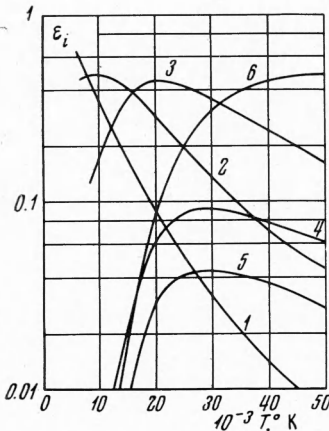
Области 4, 5 охватывают участок спектра, соответствующий линии  $L_\alpha$ . Слева и справа от центрального участка линии шириной  $4 \cdot 10^{13}$  сек $^{-1}$ , который не учитывался из-за его малого вклада в поток энергии ввиду очень большой его оптической плотности, расположены два одинаковых участка по  $7 \cdot 10^{13}$  сек $^{-1}$ . Так как линия симметрична, они объединены в одну область спектра 5. То же самое относится к крайним участкам линии, шириной по  $1.5 \cdot 10^{14}$  сек $^{-1}$ , которые объединены в область спектра 4.

Область 6 охватывает участок спектра, связанный с фотоионизацией из основного состояния.

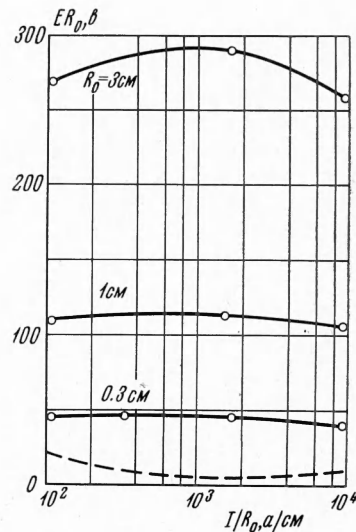
Во всех областях спектра 1,...,6 проведено осреднение значений коэффициента поглощения по формуле

$$\langle k \rangle = (\langle k' \rangle \langle k'' \rangle)^{1/2}$$

Фиг. 3



Фиг. 3

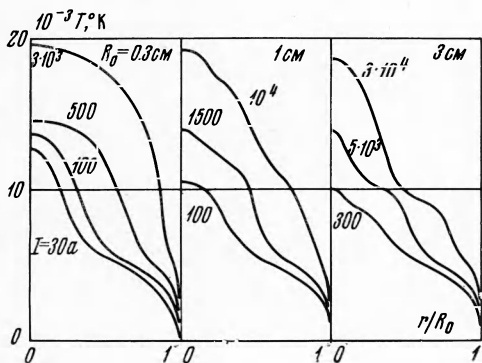


Фиг. 4

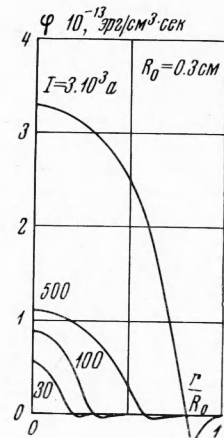
амперные характеристики  $ER_0 = f(I/R_0)$ . Пунктирная кривая — расчет без учета переноса энергии излучением; кривая 1 — расчет для радиуса канала  $R_0 = 0.3$  см; кривая 2 —  $R_0 = 1$  см; кривая 3 —  $R_0 = 3$  см. На характеристиках кружками нанесены значения температуры на оси дуги: кривая 1 (слева направо) — 12 000, 14 000, 16 000, 20 000° К; кривая 2 — 11 000, 14 000, 18 000° К; кривая 3 — 10 000, 14 000, 18 000° К.

На фиг. 5 показаны профили температуры в дуге для соответствующих значений радиуса канала. Цифры около кривых обозначают величину силы тока в амперах.

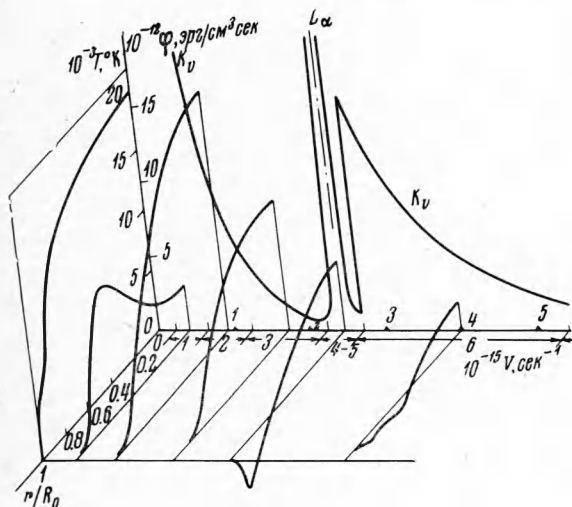
На фиг. 6 для примера показано поведение величины дивергенции плотности потока энергии, переносимой излучением  $\Phi$ , в зависимости от расстояния от оси дуги для  $R_0 = 0.3 \text{ см}$  и для ряда величин силы тока. Представляет интерес поведение величины



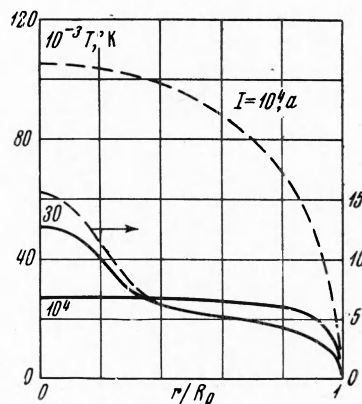
Фиг. 5



Фиг. 6



Фиг. 7

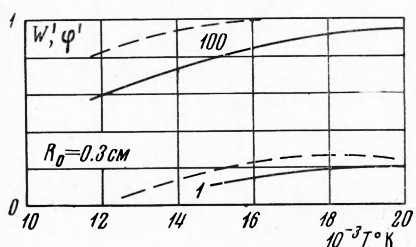


Фиг. 8

$\varphi_i$  в каждой области спектра. Значения  $\varphi_i$  для всех областей частот показаны в одинаковом масштабе на фиг. 7 для  $R_0 = 0.3 \text{ см}$  и при  $I = 3000 \text{ а}$ . Там же показан профиль температуры и схематически изображено поведение коэффициента поглощения в зависимости от частоты.

Насколько большую роль играет перенос энергии излучением в тепловом балансе дуги и в формировании профиля температуры можно судить по данным расчета, показанным на фиг. 8. Для  $R_0 = 0.3 \text{ см}$  показаны два профиля температуры при силе тока  $30 \text{ а}$  (шкала температур справа) и для  $10000 \text{ а}$  (шкала температур слева), рассчитанные с учетом излучения (сплошные кривые) и без учета излучения (пунктирные кривые).

Если при  $I = 30 \text{ а}$  температура на оси падает на небольшую величину и профиль температуры изменяется довольно



Фиг. 9

слабо, то при  $I = 10\ 000\ a$  профиль температуры изменяется очень сильно.

На фиг. 9 для  $R_0 = 0.3\ cm$  показана величина отношения мощности, теряемой единицей длины дуги за счет излучения  $W$ , к вкладываемой мощности  $IE : W' = W / IE$  (сплошная кривая) и величины  $\phi' = \phi_0 / \sigma_0 E^2$  (пунктирная кривая), характеризующей роль излучения вблизи оси, в зависимости от значения температуры газа на оси дуги;  $\phi_0$  и  $\sigma_0$  — значения на оси канала. Уже при  $R_0 = 0.3\ cm$  большая часть энергии переносится за счет излучения. При больших значениях радиуса канала роль излучения еще больше. Цифры у кривых обозначают величину давления в атмосферах. Результаты расчетов для давления, равного одной атмосфере, взяты из работы [5].

Изложенная методика расчета дуги с учетом переноса энергии излучением может быть использована и для расчета дуги в атмосфере других газов. Авторы благодарят Л. М. Ветлуцкую и В. Н. Ветлуцкого за помощь при проведении расчетов.

Поступила 21 XI 1967

#### ЛИТЕРАТУРА

1. E mmons H. W., L a n d R. I. Poiseuille Plasma Experiment. Phys. Fluids, 1962, vol. 5, No 12, p. 1489—1500.
2. S chmidt G., P a t t H. T. Die Bestimmung von Material funktion eines Stickstoffplasma bei Atmosphärendruck bis 15 000° K. Zs. Phys., 1963, B. 171, No. 4, s. 449.
3. А с и н о в с к и й Э. И., К и р и л л и н А. В. Опытное определение коэффициента теплопроводности плазмы аргона. Теплофизика высоких температур, 1965, т. 3, вып. 5, стр. 677—685.
4. К н я з е в Ю. Р., М и т и н Р. В., П е т р е н к о В. И., Б о р о в и к Е. С. Излучение аргоновой дуги высокого давления. ЖТФ, 1964, т. 34, вып. 7, стр. 1224—1230.
5. В е т л у ц к и й В. Н., О н у ф р и е в А. Т., С е в а с т ѿ я н е н к о В. Г. Расчет цилиндрической электрической дуги с учетом переноса энергии излучением. Сб. «Низкотемпературная плазма», Тр. Междунар. симпоз. по свойствам и применению низкотемп. плазмы при XX Междунар. конгрессе по теоретической и прикладной химии, Москва, июль 15—17, 1965, «Мир», 1967, стр. 395—407.
6. О г у р ц о в А. Н., П о д м о ш е н с к и й И. В. Капиллярный разряд, как источник плазмы для ее количественных исследований. Сб. «Низкотемпературная плазма», «Мир», 1967, стр. 432—441.
7. В е т л у ц к и й В. Н., О н у ф р и е в А. Т., С е в а с т ѿ я н е н к о В. Г. Расчет электрической дуги в аргоне, стабилизированной стенками, с учетом переноса энергии излучением. ПМТФ, 1965, № 4, стр. 71.
8. Р о м и ш е в с к и й Е. А. Пограничные слои и стабилизированный газовый разряд при диффузионном характере излучения. Инж. ж., 1962, т. 2, № 1, стр. 170—174.
9. К н я з е в Ю. Р., Б о р о в и к Е. С., М и т и н Р. В., П е т р е н к о В. И. Импульсная дуга высокого давления в гелии и водороде. ЖТФ, 1967, т. 37, вып. 3, стр. 528—532.
10. О н у ф р и е в А. Т., С е в а с т ѿ я н е н к о В. Г. Перенос лучистой энергии в спектральных линиях с учетом реабсорбции. ПМТФ, 1966, № 2, стр. 122.
11. О н у ф р и е в А. Т., С е в а с т ѿ я н е н к о В. Г. О расчете переноса энергии излучением в спектральных линиях. ПМТФ, 1967, № 1, стр. 125.
12. О н у ф р і е в А. Т., S e v a s t y a n e n k o V. G. The influence of radiation energy transport accounting for self-absorption on heat transfer process for an electric arc in turbulent argon flow. Proceed 3-rd International Heat Transfer Conference, Chicago, Illinois, 1966, vol. 5, N. Y. American Institute Chemical Engrs., 1966.
13. В о р о н и н а И. С., З а м у р а е в В. П., С е в а с т ѿ я н е н к о В. Г. Расчет переноса энергии излучением в непрерывном спектре с учетом изменения коэффициента поглощения по частоте при наличии реабсорбции. ПМТФ, 1968, № 1.
14. К о л е с н и к о в В. Н. Дуговой разряд в инертных газах. Тр. ФИАН, 1964, т. 30, стр. 66—158.
15. Л а г а р ъ к о в А. Н. Об условиях применимости локального термодинамического равновесия. Теплофизика высоких температур, 1966, т. 4, № 3, стр. 305.
16. В о р о б ѿ в В. С. Влияние реабсорбции излучения на отклонение от термодинамического равновесия. Теплофизика высоких температур, 1966, т. 4, № 4, стр. 494.
17. М а р ч у к Г. И. Методы расчета ядерных реакторов. М., Госатомиздат, 1961.
18. Б и б е р м а н Л. М., Н о р м а н Г. Э. Непрерывные спектры атомарных газов и плазмы. Усп. физ. н., 1967, т. 91, вып. 2, стр. 193.
19. С о б е л ѿ м а н И. И. Введение в теорию атомных спектров. М., Физматгиз, 1963.